

순시 무효전력을 이용한 영구자석 동기전동기의 센서리스 제어

전병호*, 최양광*, 김영식*, 신재화**, 한윤석***

*인하대학교 차세대 고전압 전력기술 연구센터, **인천전문대학, ***삼성테크원

New Sensorless Vector Control for Permanent Magnet Synchronous Motor using instantaneous Reactive Power

*Byoung-Ho Jun, *Yang-Kwang Choi, *Young-Seok Kim, **Jae-Wha Shin, ***Yoon-seok Han

*Reach Center for Next-generation High voltage and Power Technology, Inha University, **Inchon College,

***Samsung Techwin co., LTD.

Abstract - This paper presents a new speed sensorless control method of a permanent magnet synchronous motor based on instantaneous reactive power. The proposed algorithm is constructed by instantaneous reactive power in a synchronously rotating reference frame and is not affected by mechanical motor parameters, because mechanical equation is not used. The effectiveness of the proposed system is confirmed by the experimental results.

1. 서 론

영구자석 동기전동기는 단위무게당 토크 비율 및 효율이 다른 전동기와 비해 월등히 높다는 장점을 가지고 있어 산업 용융분야에 꼭 넓게 사용되고 있다. 그러나, 영구자석 동기 전동기는 회전자에 부착된 영구자석으로부터 자속을 공급받기 때문에 벡터제어를 위해서는 항상 회전자의 정확한 위치정보를 알아야 하므로, 전동기 회전자의 정확한 위치정보를 얻기 위해서 레졸버나 absolute encoder 또는 흘 소자 등의 자기센서를 이용한 전자식 위치검출기가 사용되어진다. 이러한 위치검출기는 일반적으로 가격이 고가일 뿐만 아니라 별도의 복잡한 하드웨어가 제어기에 구성되어야하는 단점이 있으며, 전동 및 습도 등의 주위환경에 대해 많은 영향을 받기 때문에 사용에 제한을 받는다. 이외에도 위치 검출기를 전동기 축에 부착함으로 인한 전동기 크기의 중대 및 가공성의 저하의 문제가 발생하게 된다. 이러한 영구자석 전동기의 제어상 큰 문제점인 회전자의 위치검출을 센서를 사용하지 않고 간접적으로 얻고자하는 센서리스 제어에 관한 연구가 많이 진행되고 있다.[1]~[5]

본 논문은 순시 무효전력을 이용한 영구자석 동기전동기의 새로운 센서리스 제어를 제안한다. 제안된 방법은 전동기의 기계방정식을 사용하지 않고 영구자석 동기전동기의 회전자의 속도 및 위치를 추정하므로, 전동기의 기계적 제정수에 강인함을 갖는다. 제안한 방법의 타당성과 강인함을 실증을 통하여 증명하였다.

2. 본 론

2.1 관측기의 구성

고정자 좌표계에서 영구자석 동기 전동기의 전압 방정식만을 고려한 상태방정식은 식(1)과 같다.

$$\begin{aligned} \dot{i}_{sd} &= -\frac{R_s}{L_s} i_{sd} + \frac{K_E}{L_s} \omega_r \sin \theta_r + \frac{1}{L_s} v_{sd} \\ \dot{i}_{sq} &= -\frac{R_s}{L_s} i_{sq} - \frac{K_E}{L_s} \omega_r \cos \theta_r + \frac{1}{L_s} v_{sq} \end{aligned} \quad (1)$$

여기서, v_{sd} : 고정자 좌표계의 D축 입력전압

v_{sq} : 고정자 좌표계의 Q축 입력전압

i_{sd} : D축 전류

i_{sq} : Q축 전류

R_s : 고정자 저항

L_s : 고정자 인덕턴스

K_E : 역기전력 상수

관측기를 식(2)와 같이 구성할 경우, 오차방정식은 식(4)와 같다.

$$\begin{aligned} \dot{i}_{sd} &= -\frac{R_s}{L_s} \hat{i}_{sd} + \frac{K_E}{L_s} \hat{\omega}_r \sin \hat{\theta}_r + \frac{1}{L_s} v_{sd} + k_1 e_{sd} \\ \dot{i}_{sq} &= -\frac{R_s}{L_s} \hat{i}_{sq} - \frac{K_E}{L_s} \hat{\omega}_r \cos \hat{\theta}_r + \frac{1}{L_s} v_{sq} + k_2 e_{sq} \end{aligned} \quad (2)$$

$$\begin{aligned} e_{sd} &= \hat{i}_{sd} - i_{sd} \\ e_{sq} &= \hat{i}_{sq} - i_{sq} \end{aligned} \quad (3)$$

$$\dot{e}_{sd} = -\frac{R_s}{L_s} e_{sd} + \frac{K_E}{L_s} (\hat{\omega}_r \sin \hat{\theta}_r - \omega_r \sin \theta_r) + k_1 e_{sd}$$

$$\dot{e}_{sq} = -\frac{R_s}{L_s} e_{sq} - \frac{K_E}{L_s} (\hat{\omega}_r \cos \hat{\theta}_r - \omega_r \cos \theta_r) + k_2 e_{sq} \quad (4)$$

식(4)로부터 역기전력의 오차가 0으로 수렴할 경우, 식(2)의 관측기는 극배치(pole placement)기법을 통해 k_1, k_2 를 설정함으로서 안정성이 확보되어진다면, 전류오차는 0으로 수렴되어진다.

2.2 순시 무효 전력을 이용한 추정속도오차의 보상

회전자 좌표계에서 영구자석 동기전동기의 상태방정식은 (5)와 같으며, 회전자 속도는 (6)과 같이 산출가능하다.

$$\begin{aligned} v_{sd} &= (R_s + pL_s) i_{sd} - \omega_r L_s i_{sq} \\ v_{sq} &= (R_s + pL_s) i_{sq} + \omega_r L_s i_{sd} + K_E \omega_r \end{aligned} \quad (5)$$

여기서, v_{sd} : 회전자 좌표계의 d축 입력전압

v_{sq} : 회전자 좌표계의 q축 입력전압

i_{sd} : d축 전류

i_{sq} : q축 전류

p : 미분연산자

$$\omega_r = \frac{v_{sq} - (R_s + pL_s) i_{sq}}{K_E + L_s i_{sd}} \quad (6)$$

식(6)으로부터 회전자의 속도를 산출할 경우, 실제 회전자의 속도와 오차가 발생하므로, 이를 보상하기 위해

보상값 C를 고려하여, 추정속도를 식(7)과 같이 구성한다.

$$\widehat{\omega}_r = \frac{v_{sq} - (R_s + pL_s)i_{sq}}{K_E + L_s i_{sd}} + C \quad (7)$$

보상값 C를 결정하기 위해 회전자 좌표계의 순시무효전력을 이용한다.

순시 무효전력 q_m 을 선전류 i_s 와 역기전력 E_s 의 벡터의 적이라고 정의하면, 순시무효전력은 식(8)과 같다.

$$q_m \equiv i_s \otimes E_s \quad (8)$$

여기서, $i_s = (i_{sd}, i_{sq})$

$$E_s = (E_{sd}, E_{sq})$$

또한, 식(2)의 추정전류를 이용한 추정 순시 무효전력은 다음과 같다.

$$\widehat{q}_m \equiv \widehat{i}_s \otimes E_s \quad (9)$$

여기서, $\widehat{i}_s = (\widehat{i}_{sd}, \widehat{i}_{sq})$

회전자 좌표계에서 실제전류 i_s 에 대해 추정전류 \widehat{i}_s 가 그림1과 같이 실제 순시 무효전력에 대해 $\Delta\theta_r$ 만큼 벗어나 있다면, 식(8),(9)는 식(10),(11)같이 산출된다.

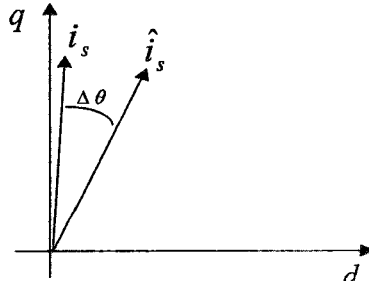


그림 1. 회전자 좌표계에서 실제전류 및 추정전류

$$q_m = i_{sd} K_E \widehat{\omega}_r \quad (10)$$

$$\widehat{q}_m = \widehat{i}_{sd} K_E \widehat{\omega}_r \\ = (i_{sd} \cos \Delta\theta_r + i_{sq} \sin \Delta\theta_r) K_E \widehat{\omega}_r \quad (11)$$

식(11)에서 (12)의 조건이 만족된다면, 식(11)을 식(13)과 같이 근사 시킬 수 있으며,

$$\omega_r \neq 0, \Delta\theta_r \approx 0 \quad (12)$$

$$\widehat{q}_m = (i_{sd} + i_{sq} \Delta\theta_r) K_E \widehat{\omega}_r \quad (13)$$

식(10),(11)로부터, 순시무효전력의 오차는 식(14)와 같이 위치오차에 대한 정보를 포함한 식으로 나타나므로, 속도오차에 대한 보상값 C를 식(15)과 같이 비례분하여 결정한다.

$$\Delta q_m = \widehat{q}_m - q_m = i_{sq} \Delta\theta_r K_E \widehat{\omega}_r \quad (14)$$

$$C = (K_p + \frac{K_I}{p}) \cdot \Delta q_m \quad (15)$$

식(12)의 조건이 만족되면, 식(4)의 오차방정식은 식(16)같이 나타내어진다.

$$\dot{e}_{sd} = -\frac{R_s}{L_s} e_{sd} + \frac{K_E}{L_s} (\widehat{\omega}_r - \omega_r) \sin \widehat{\theta}_r + k_1 e_{sd} \quad (16)$$

$$\dot{e}_{sq} = -\frac{R_s}{L_s} e_{sq} - \frac{K_E}{L_s} (\widehat{\omega}_r - \omega_r) \cos \widehat{\theta}_r + k_2 e_{sq} \quad (16)$$

식(15)에서 속도 추정오차가 안정적으로 보상되어지면, 식(16)은 (17)로 나타내지며, 안정성을 확보하도록 k_1, k_2 를 설정하면, 식(17)의 오차는 0으로 수렴한다.

$$\begin{aligned} \dot{e}_{sd} &= -\frac{R_s}{L_s} e_{sd} + k_1 e_{sd} \\ \dot{e}_{sq} &= -\frac{R_s}{L_s} e_{sq} + k_2 e_{sq} \end{aligned} \quad (17)$$

추정 알고리즘에 대한 전체 블록 다이어그램을 그림2에 나타내었다.

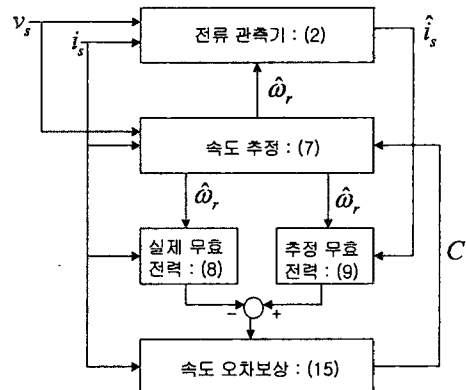


그림 2. 제안된 순시무효전력을 이용한 위치추정 알고리즘

2.3. 실험결과

제안된 관측기 시스템의 타당성을 확인하기 위해 다음의 실험을 수행하였으며, 실험에 사용된 전동기의 규격은 표1과 같다.

표 1. 영구자석 전동기의 규격

정격용량	1.8[kw]	고정자 저항	0.22[Ω]
정격 토크	5.84[N·m]	고정자 인덕턴스	0.88[mH]
정격 속도	3000[rpm]	역기전력 상수	0.0522 [V/r/min]
극수	8극	관성 계수	18.6×10^{-4} [Kg · m ²]

그림3~6는 무부하시 1500, 500rpm에서 정역운전 특성이며, 속도의 급격한 변화에도 위치를 잘 추정함이 보여졌다.

그림7~8는 1000rpm에서 부하변화특성이며, 부하변화에 개인하게 동작함을 알 수 있다.

그림9~10은 50rpm의 저속(1.6%)에서의 특성이며, 저속에서도 안정적으로 동작함을 알 수 있다.

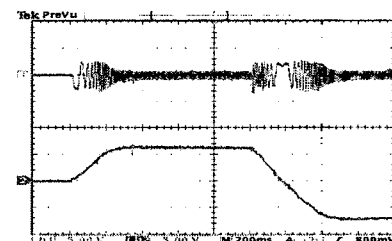


그림 3. 1500rpm에서 정역운전시 실제전류(상) 및 추정속도(하)

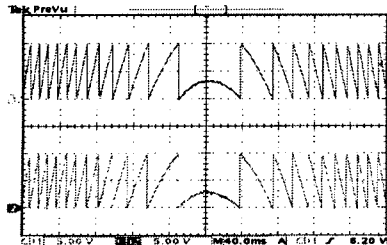


그림 4. 1500rpm에서 정역운전시 실제위치(상) 및 추정위치(하)

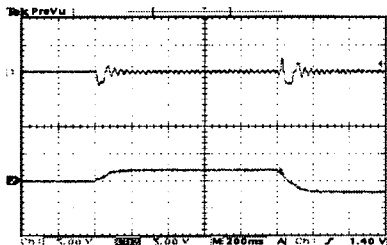


그림 5. 500rpm에서 정역운전시 실제전류(상) 및 추정속도(하)

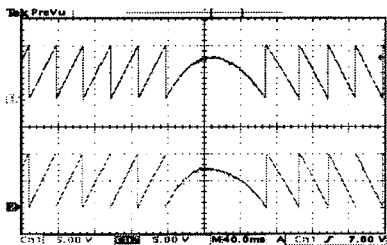


그림 6. 500rpm에서 정역운전시 실제위치(상) 및 추정위치(하)

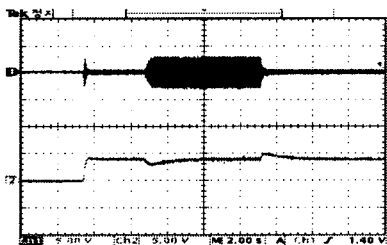


그림 7. 1000rpm에서 60% 부하변화시 실제전류(상) 및 추정속도(하)

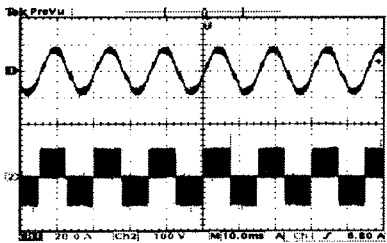


그림 8. 1500rpm에서 60% 부하인가시 선전류(상) 및 선간전압(하)

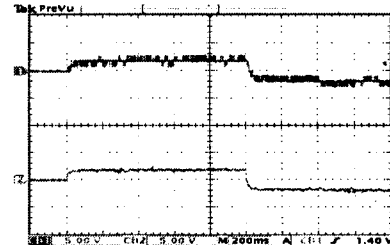


그림 9. 50rpm에서 정역운전시 실제속도(상) 및 추정속도(하)

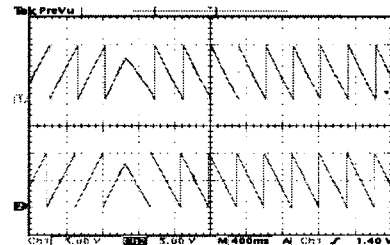


그림 10. 50rpm에서 정역운전시 실제위치(상) 및 추정위치(하)

3. 결 론

본 논문에서는 원통형 영구자석 동기전동기의 회전자좌표계에서 순시무효전력을 이용한 위치 및 속도추정 알고리즘을 제안하였으며, 이를 실험을 통해 증명하였다.

그 결과 정상상태 뿐만 아니라, 속도가 급변하는 파도상태에서도 속도 및 위치를 안정적으로 추정하며, 부하변환에도 안정적으로 동작하였다. 또한, 제안된 알고리즘은 전동기의 기계적 방정식을 사용하지 않으므로, 기계적 파라미터가 가지는 계측의 어려움 및 계측오차에서 발생하는 불안정한 구동과 같은 문제점이 해결된다.

감사의 글

이 논문은 2001년도 한국학술진흥재단의 지원에 의하여 연구되었음.(KRF-2001-041-E00146)

[참 고 문 헌]

- [1] R. Wu et al, "A Permanent Magnet Motor Drive Without a Shaft Sensor", IEEE Trans. Ind. Appl., vol.27, no.5, pp.1005-1011, 1991
- [2] N. Matsui et al, "Brushless dc Motor Control without Position and Speed Sensors", IEEE Trans. Ind. Appl., vol.28, no.1, pp.120-127, 1992
- [3] J. Hu. et al, "Application of Sliding Observer to Sensorless Permanent Magnet Synchronous Motor Drive System", IEEE PESC Conf. Record, pp.532-536, 1994
- [4] R. B. Sepe et al, "Real-Time Observer-Based (Adaptive) Control of a Permanent-Magnet Synchronous Motor without Mechanical Sensor", IEEE Trans. Ind. Appl., vol.28, no.6, pp.1345-1352, 1992
- [5] T. Furuhashi et al, "A Position-and-Velocity Sensorless Control for Brushless DC Motors Using an Adaptive Sliding Mode Observer", IEEE Trans. Industrial Electronics, vol.39, no.2, pp.89-95, 1992